

Precious metals and gems

Au, Ag, PGE (Pt), diamonds,
beryl group: emeralds, aquamarines,
corundum group: rubies, sapphires

Au (Ag)

⇒ zlato a měna

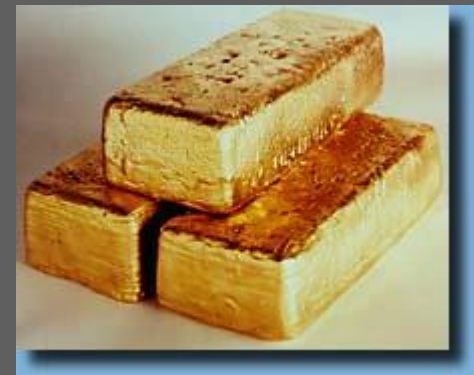
1934-1968: \$35/uncí (\$1090/kg)



Zlatý standard (gold standard): zavedla Velká Británie (1816). 31. ledna 1934 vláda US zvýšila oficiální cenu zlata z \$20,67/uncí na \$35/uncí (\$1090/kg). Toto platilo až do roku 1968 začátek mezinárodního trhu a obchodu (two-tier international market) - oficiální trh a soukromý trh určovaný nabídkou a poptávkou. Dnes již neexistuje formální vazba mezi zlatem a měnou, ale přetrvává neformální vazba: státní a vládní zásoby Au a jejich výše je považována za ukazatel zdraví ekonomiky a hodnoty měny.

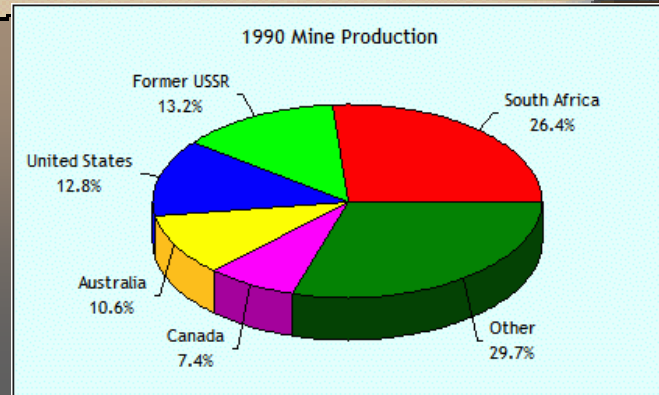
Au - použití

- ⇒ mince, klenoty, zubařské materiály, elektronika, reflexní povrchy skla, folie na zlacení
- ⇒ světová produkce
(1990): 2050t

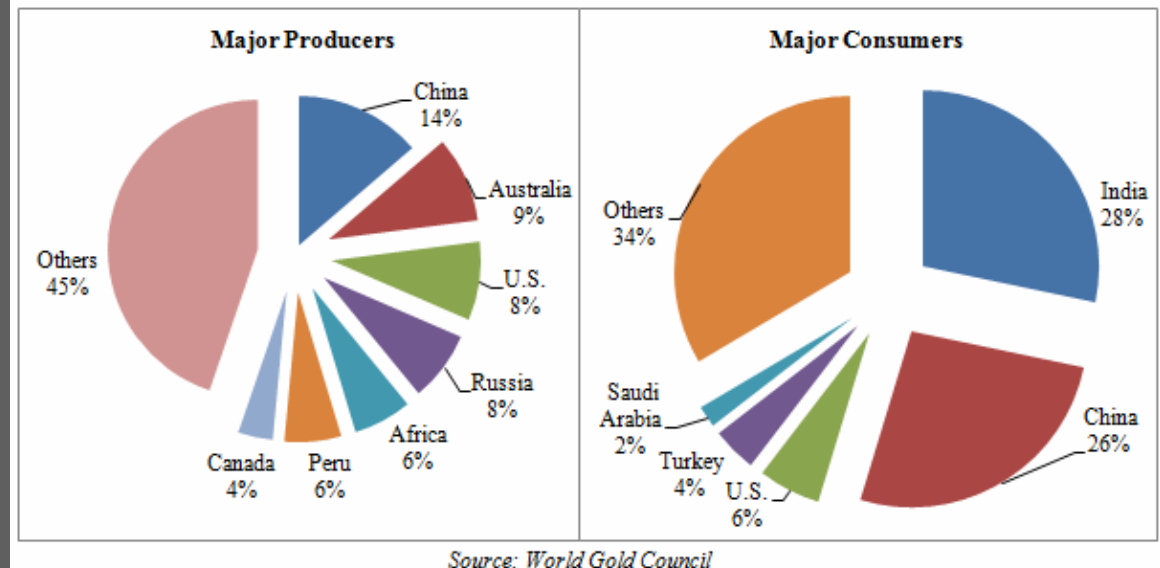


Gold production

1. China: 276mt
 2. South Africa: 272mt
 3. United States: 255mt (estim)
 4. Australia: 251mt (est)
 5. Indonesia: 171mt (est)
 6. Peru: 167mt
 7. Russia: 4.9mt (est)
 8. Canada: 93mt
 9. Papau New Guinea
 10. Ghana
 - Other:
- TOTAL: 2444mt (2007)**



2012

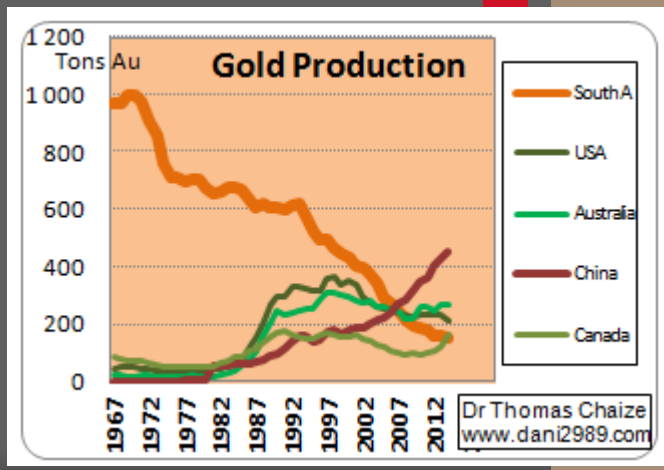


Au

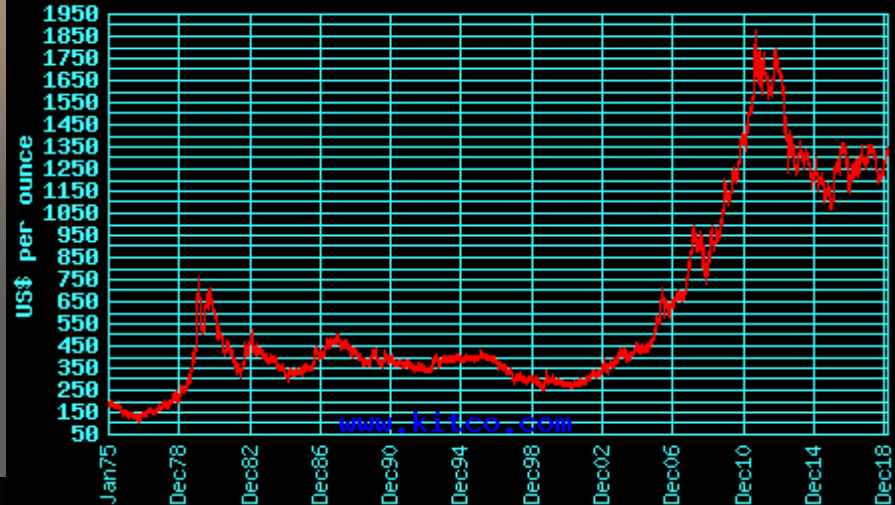
2012



Rank	Country/Region	Gold production (kilograms)
	World	2,700,000
1	<u>China</u>	370,000
2	<u>Australia</u>	250,000
3	<u>United States</u>	230,000
4	<u>Russia</u>	205,000
5	<u>South Africa</u>	170,000
6	<u>Peru</u>	165,000
7	<u>Canada</u>	102,000
	<u>Indonesia</u>	95,000
	<u>Uzbekistan</u>	90,000
	<u>Ghana</u>	89,000
	<u>Mexico</u>	87,000
	Rest of the world	847,000

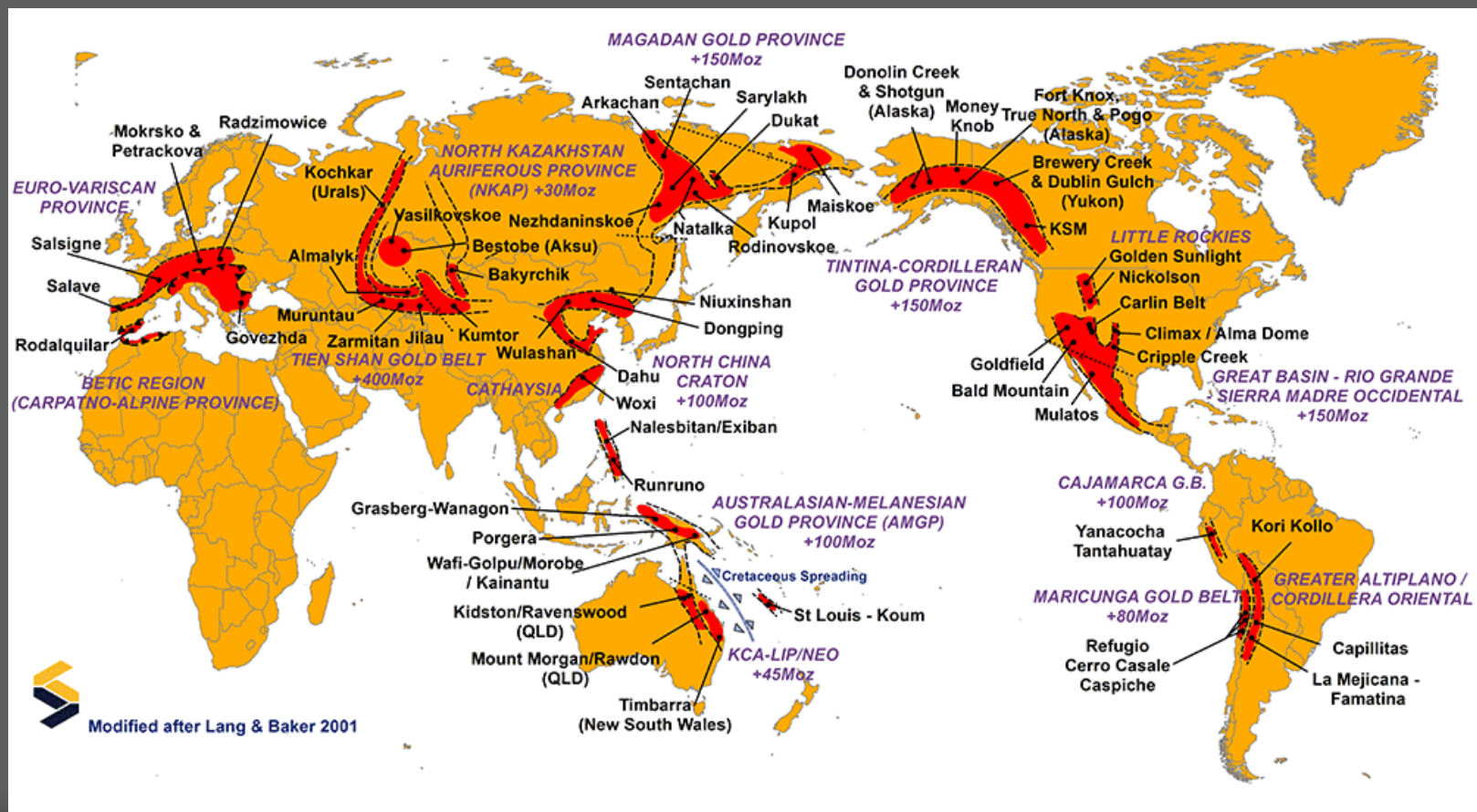


Zlato - cena



Golg systems - magmatic

INTRUSION RELATED GOLD SYSTEMS



Au - zdroje

- ⇒ **metamorfogenní:** žilníky, vtroušené rudy, v černých břidlicích nebo zelených břidlicích, kovnatosti 6 - 20 g/t
(Witwatersrand (JAR), Homestake (USA), Muruntau, Suchoj Log (SNS), Kalgoorlie (Austr.), Kirkland Lake (Kanada))
- ⇒ **žíly, žilníky:** často s křemenem, teluridy, 4-25 g/t, 10% svět. zásob, 10-15% svět. produkce (Mother Lode, Cripple Creek - USA, Kolar - Indie), různé vazby na magmatické procesy
- ⇒ **porfyry ores:** 0,1-6 g/t
7-10% svět. zásob, 10-15% svět. produkce, Panguna (Papua-Nová Guinea), Chuquicamata, El Teniente (Chile)
- ⇒ **aluvia, plážové akumulace, eluvia:** $300\text{-}1000 \text{ mg/m}^3$
10-15% svět. zásob, 15-20% svět. produkce, Lena, Kolyma, Amur, Tuora Tas, Ural, Bendigo-Ballarat (Austr.), Nome, Kalifornie (USA), Serra Pelada, Tapajos (Brazílie), Rio Cuca (Kolumbie)

Serra Pelada, Brazil



Serra Pelada garimpo. The largest South American gold rush. Bernadelli (1983)

Serra Pelada - Iožisko

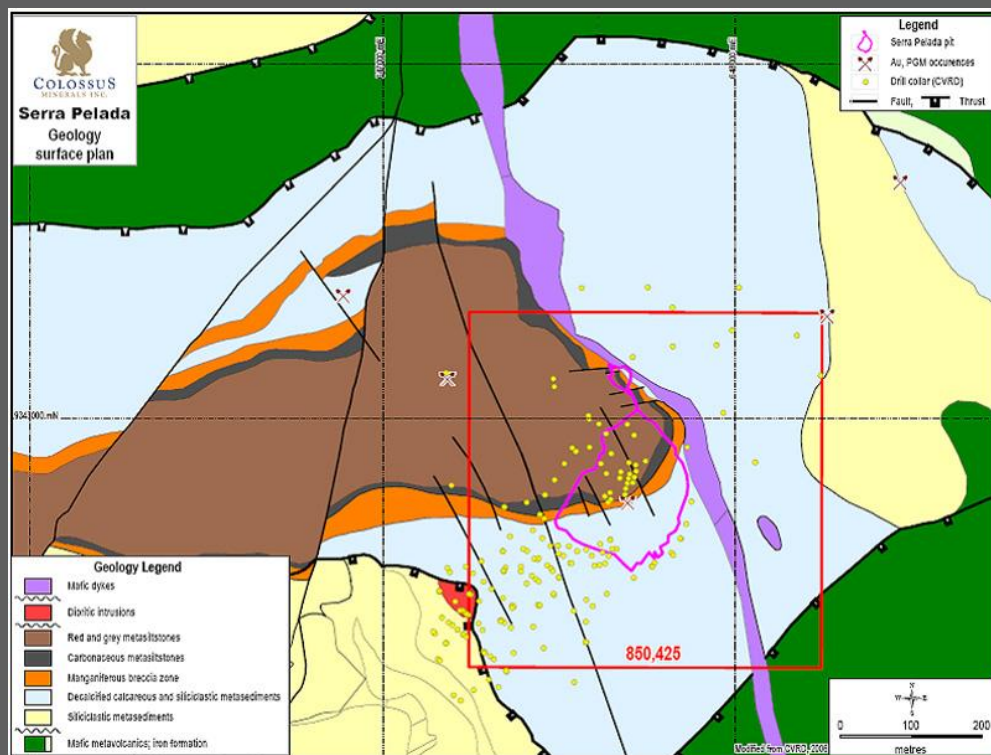
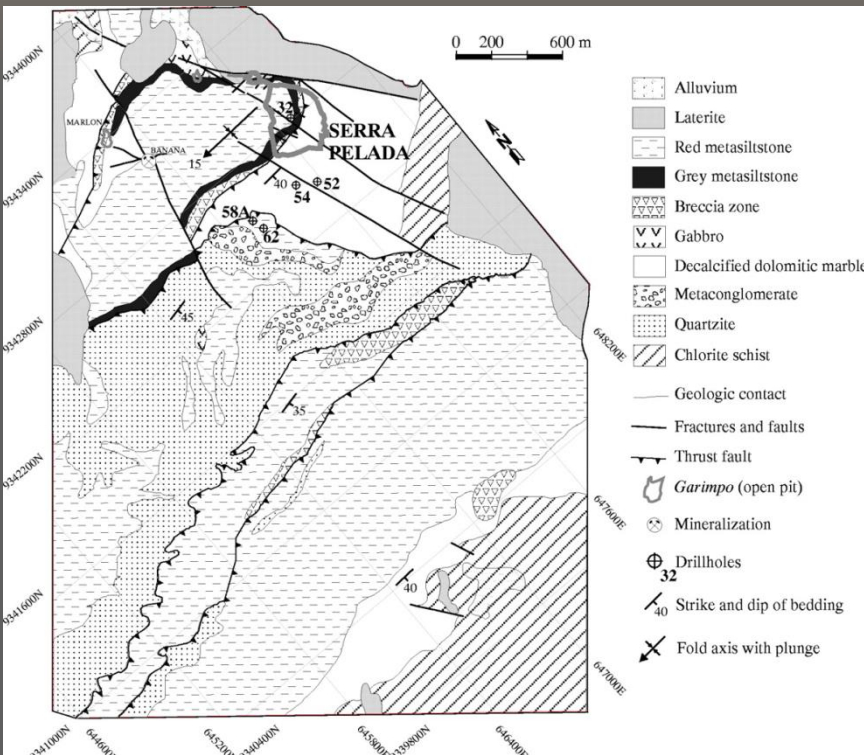
A historic drill core from the Serra Pelada open pit was only recently assayed and has spectacular gold, palladium, and platinum grades over a 43-m-depth interval (4,709 g/t Au, 1,174 g/t Pd, 204 g/t Pt). The Au-Pd-Pt mineralization in a bonanza-grade interval (54.5–55.0 m @ 132,000 g/t Au, 11,400 g/t Pd, 359 g/t Pt) consists of coarse-grained, up to several centimeter-large, dendritic palladian gold aggregates (Au_7Pd) with abundant inclusions of guanglinite (Pd_3As), "stibio-guanglinite" ($\text{Pd}_3[\text{As},\text{Sb}]$), sudovikovite (PtSe_2), palladseite ($\text{Pd}_{17}\text{Se}_{15}$), and an unnamed Pd-Pt-Se alloy. The palladian gold aggregates are often coated by goethite and are embedded in a powdery, ferruginous, clay-rich matrix with fragments of vein quartz. Iron and manganese oxides occur as vug fillings in palladian gold and are associated with native palladium and Pd-oxygenated compounds.

The near-surface bonanza palladian gold mineralization is part of a larger, deeply weathered, hydrothermal system which, in deepest drill holes (>300 m), has a relict sulfide assemblage with a variable degree of overprint by iron oxides, sericite, and kaolinite. The deep system still has gold, palladium, and platinum grades in the g/t range and displays erratically high contents in light rare earth elements, bismuth, and selenium. Drill core samples from intermediate depth (157–275 m) are high in gold, palladium, and platinum and show a very pronounced bismuth enrichment, as well as enrichment in iridium, mercury, rare earth elements, uranium, copper, and lead. The shallow drill core is extremely enriched in gold, palladium, platinum, mercury, and manganese.

The occurrence of gold dominantly as an Au-Pd alloy, the abundant selenide and arsenide inclusions in palladian gold, and the characteristic mercury signature point to an origin of the near-surface bonanza ore from a sulfur-deficient hydrothermal system, with apparently only minor supergene precious metal enrichment.

A. R. Cabral, B. Lehmann, R. Kvitko, C.H. Cravo Costa:
The Serra Pelada Au-Pd-Pt Deposit, Carajás Mineral Province, Northern Brazil: Reconnaissance
Mineralogy and Chemistry of Very High Grade Palladian Gold Mineralization
Economic Geology; August 2002; v. 97; no. 5; p. 1127-1138; DOI: 10.2113/97.5.11270

Serra Pelada - geologie



Serra Pelada geology, drilling & and picture of mineralized zone

Serra Pelada - těžba



gettyimages

Christopher Pillitz



Garimpeiros retiram ouro do buraco de Serra Pelada, no estado do Pará, na serra dos Carajás. O trabalho duro à procura do precioso metal teve seu auge de extração manual no início da década de 1980.

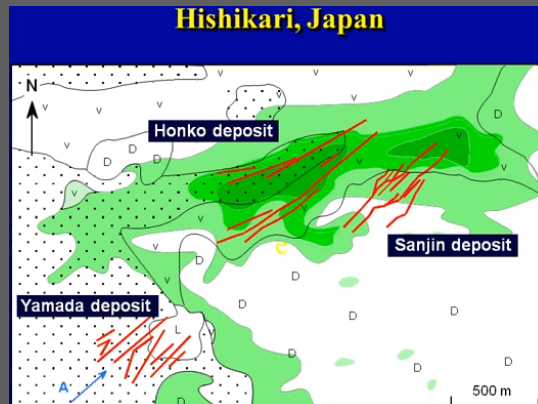
Foto: Vidal Cavalcante/BRImagens

Ložisko Hishikari, Kjušu, Japonsko

křemenná žilovina s adulárem, vazba na mladé, často plio-pleistocénní až recentní vulkanické aparáty, ukládání elektra v průběhu varu poměrně málo salinných fluid jejichž převažující složkou jsou meteorické vody, rozsáhlé přeměny hornin, apikální části intruze jsou základem konvektivní hydrotermální buňky

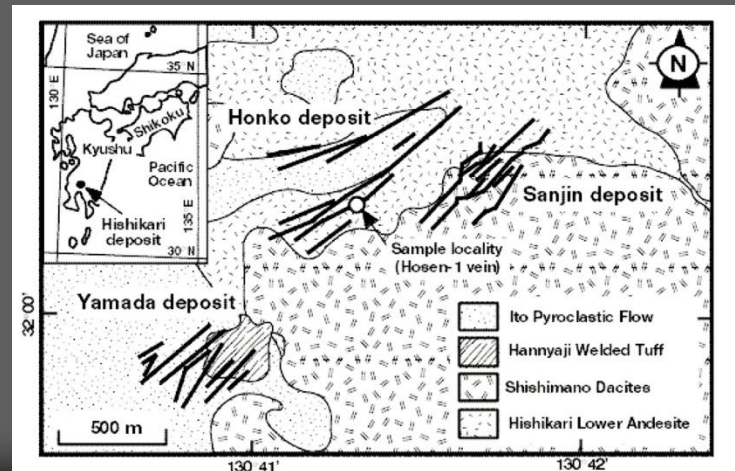
obsahy Au: průměrná kovnatost 50 g/t (25-70 g/t), celkem 260 t Au, nejbohatší vzorky mají až 7920 g/t Au a 57100 g/t Ag

tonáž: 5,5 Mt rudy ve třech dílčích ložiskách



LS Epithermal

Hishikari vein
Age: 1.25 – 0 million years
Veins in sediments and overlying volcanics
Average grade:
Honko-Sanjin: 63 g/t Au
Yamada: 25 g/t Au



Veins in Hishikari

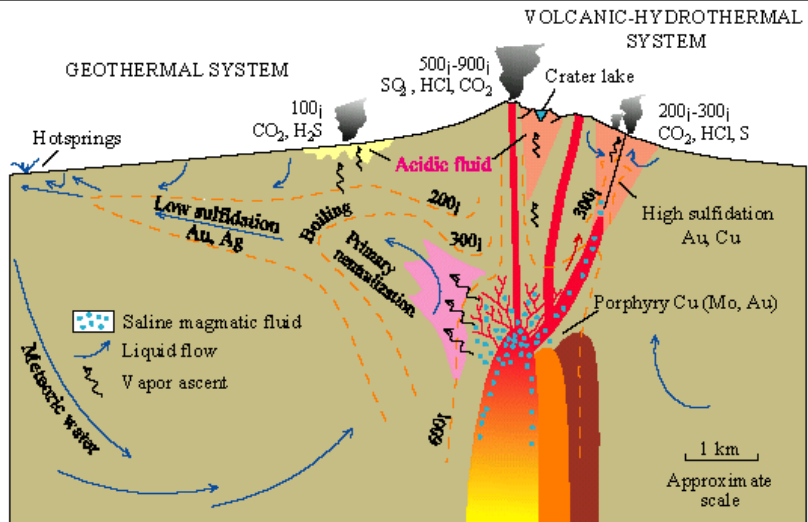
Champagne Pool, Waiotapu geothermal system, New Zealand. Neutral-pH hot spring rimmed by sinter with orange As-Sb-Au-Ag-Hg-Tl-rich precipitates. Boiling of the deep liquid during ascent causes gold to precipitate in quartz veins



High-grade (70 g/t gold), low-sulfidation quartz-adularia veins, Hishikari deposit, Japan (photo by Sumitomo Co.), epithermal hydrothermal veins.

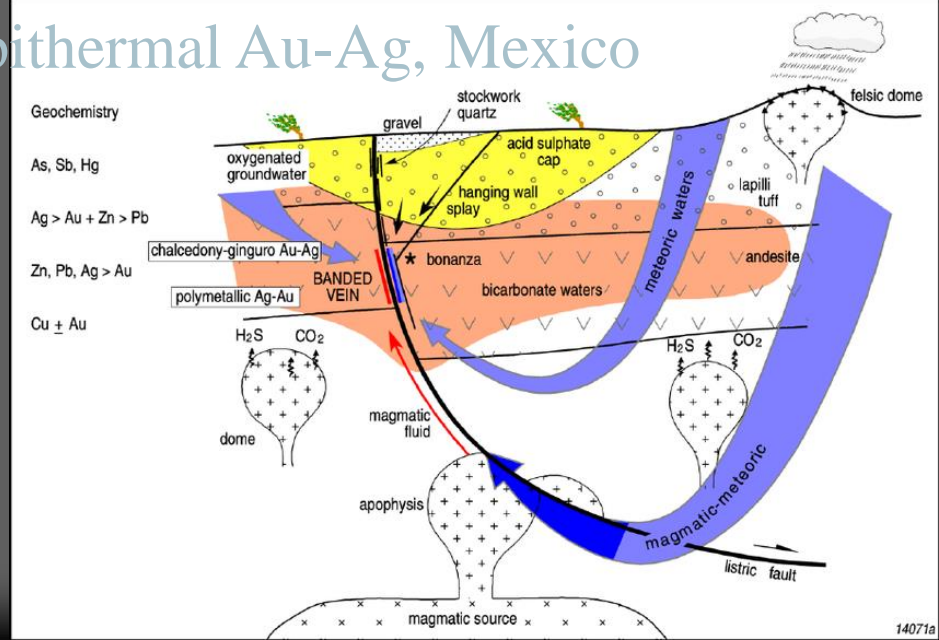
Vulkanogenní mineralizace Au-Ag

rozdílná aktivita H^+ v metasom. procesech



	Low sulfidation (LS)(Adularia-sericite)	High sulfidation (HS)(Acid-sulfate)
Deposit form	Open-space veins dominant, stockwork ore common Disseminated and replacement ore minor	Disseminated ore dominant, replacement ore common Stockwork ore minor, veins commonly subordinate
Textures	Veins, cavity filling (bands, colloforms, druses), breccias	Wallrock replacement, breccias, veins
Ore minerals	Pyrite, electrum, gold, sphalerite, galena (arsenopyrite)	Pyrite, enargite, chalcopyrite, tennantite, covellite, gold, tellurides
Gangue	Quartz, chalcedony, calcite, adularia, illite, carbonates	Quartz, alunite, barite, kaolinite, pyrophyllite
Metals	Au, Ag, Zn, Pb (Cu, Sb, As, Hg, Se)	Cu, Au, Ag, As (Pb, Hg, Sb, Te, Sn, Mo, Bi)

Epithermal Au-Ag, Mexico

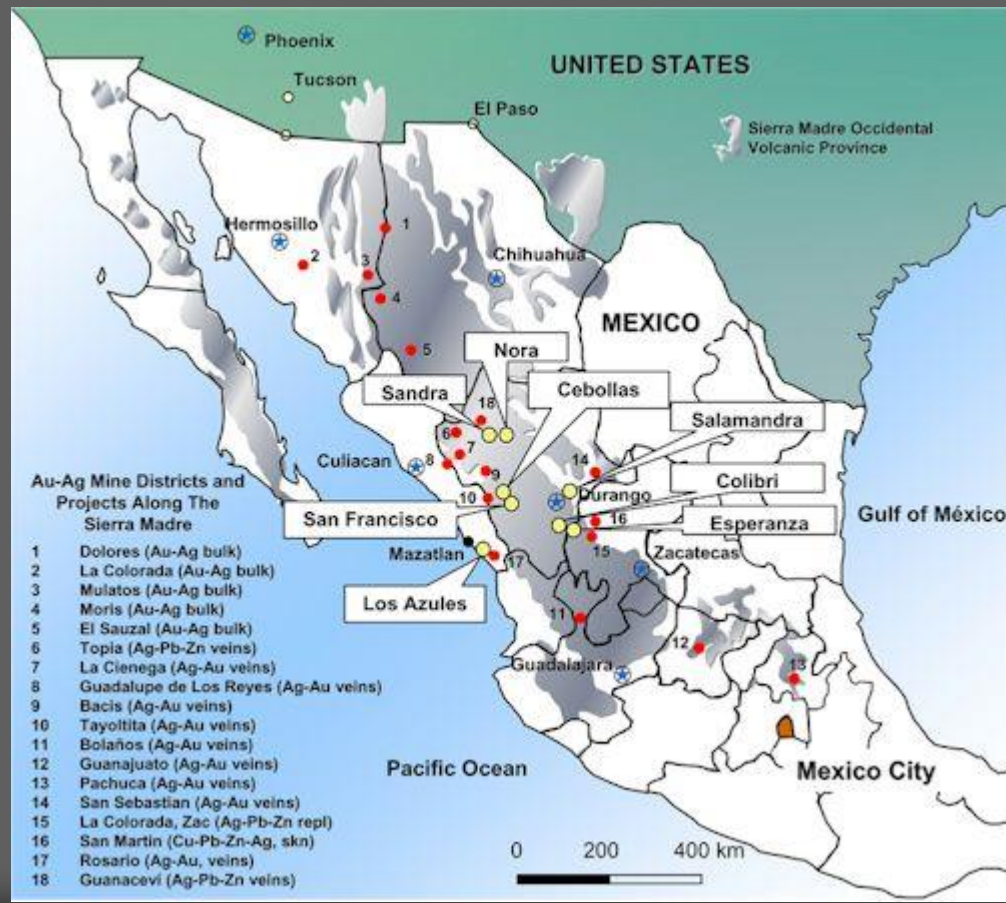


Další ložiska Au, příp. Ag

Kremnica, ...

Mexiko (Ag)

Polybasite, $[Ag_9CuS_4]$
 $[(Ag,Cu)_6(Sb,As)_{2S_7}]$, Chispas
Mine, Arizpe, Mun. de Arizpe,
Sonora, Mexico. Overall
specimen is 3 cm across.
Wendell Wilson photograph.



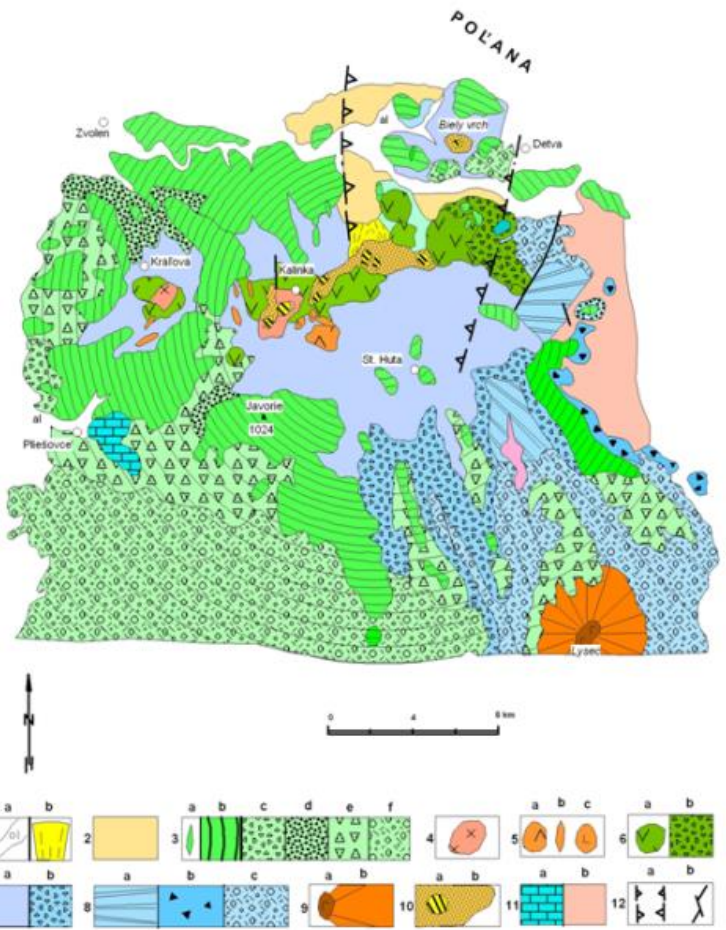
Biely vrch - Polana

<http://www.emed-slovakia.com/biely-vrch.html>

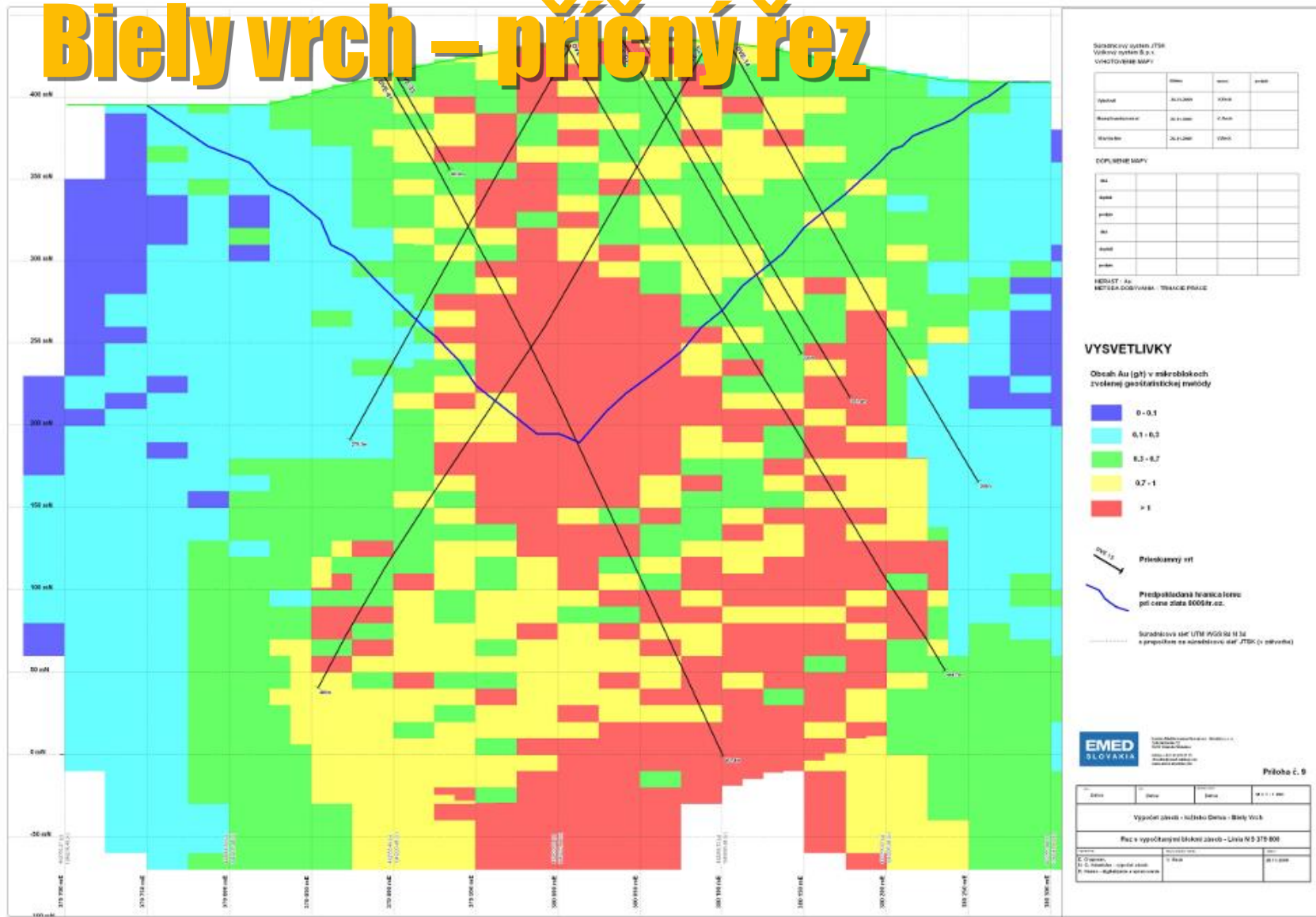
typ: Au-porfyrové ložisko

Schematická geologická mapa stratovulkánu Javorie. Vysvetlivky:

1. Kvartér; a, aluviálne sedimenty; b, proluviálne sedimenty.
2. Pliocénne sedimenty (štrky, piesky).
3. Vrchná stratovulkanická stavba – Javorská formácia (Sarmat); a, dajky andezitov; b, efuzívny komplex (lávové prúdy pyroxenických a amfibolicko-pyroxenických andezitov; c, hyaloklastitové brekcie; d, proximálna zóna stratovulkanického komplexu (lávové prúdy, blokové a pyroklastické prúdy); e, hrubozrné a blokové epiklastické vulkanické brekcie; f, epiklastické vulkanické brekcie, konglomeráty a pieskovce distálnej zóny. Stredná stratovulkanická stavba (Vrchný báden):
4. Intruzívny complex Kalinka a Kráľová (diorit, kremenný diorit a andezitový porfýr).
5. Extruzívny a intruzívny complex Lohyňa; a, extrúzie amfibolicko-biotiticko-hyperstenického dacitu; b, dajky hyperstenicko – amfibolického andezitu; c, extrúzie ryodacitov.
6. Syroňská formácia; a, extruzívne dómy (pyroxenicko – amfibolické andezity a amfibolicko – pyroxenické andezity; b, hrubozrné epiklastické vulkanické brekcie).
7. Blýskavická formácia; a, lávové prúdy pyroxenického andezitu a bazaltického andezitu, hyaloklastitové brekcie; b, prepracované hyaloklastity. Spodná stratovulkanická stavba (Stredný báden):
8. Starohutská formácia; a, stratovulkanický komplex (lávové prúdy, pyroklastické a epiklastické vulkanické brekcie); b, blokové a popolové pyroklastické prúdy; c, epiklastické vulkanické brekcie, konglomeráty a pieskovce distálnej vulkanickej zóny.
9. Vulkán Lysec; a, pyroxenicko-amfibolický andezitový tholoid; b, pyroklastický a epiklastický kužeľ proximálnej zóny.
10. Hydrotermálne alterované zóny; a, zóny argilitizácie; b, sekundárne kvarcity.
11. Predterciérne podložie; a, mezozoické sedimenty; b, horniny kryštalinika.
12. Zlomy; a, zlomy ohraničujúce vulkanitektonickú depresiu; b, zlomy



Biely vrch - příčný řez



Biely vrch - zásoby

Výsledky prvých dvoch etáp ložiskového geologického prieskumu boli zhodnotené koncom roku 2007 v internej správe s odhadom zásob porfýrových Au rúd. Na ložisku sa odhadlo celkovo 110,45 Mt rudy po úroveň 0 m n. m. od povrchu, z toho 44,03 Mt bilančnej rudy s obsahom 0,98 ppm Au a hodnotou okrajovej vzorky 0,25 ppm Au.

Na ložisku sa odhaduje bilančných resp. vyťažiteľných zhruba 20-25 ton zlata. Zvyšok zásob sa nachádza v nebilančnom vývoji, inak povedané, nie je ich možné za súčasného stavu ekonomicky vyťažiť.

Zásoby Au-porfýrových rúd podľa schváleného výpočtu zásob:

I. Bilančné zásoby		
Kategória zásob	Tonáž (tis. ton)	Priemerná kvalita (g/t)
Z-2	17 031	0,820
Z-3	14 497	0,760
Z-2 + Z-3 spolu:	31 582	0,792
II. Nebilančné zásoby		
Z-3	108 742	0,508

PGE

Os, Ir, Pt, Ru, Rh, Pd

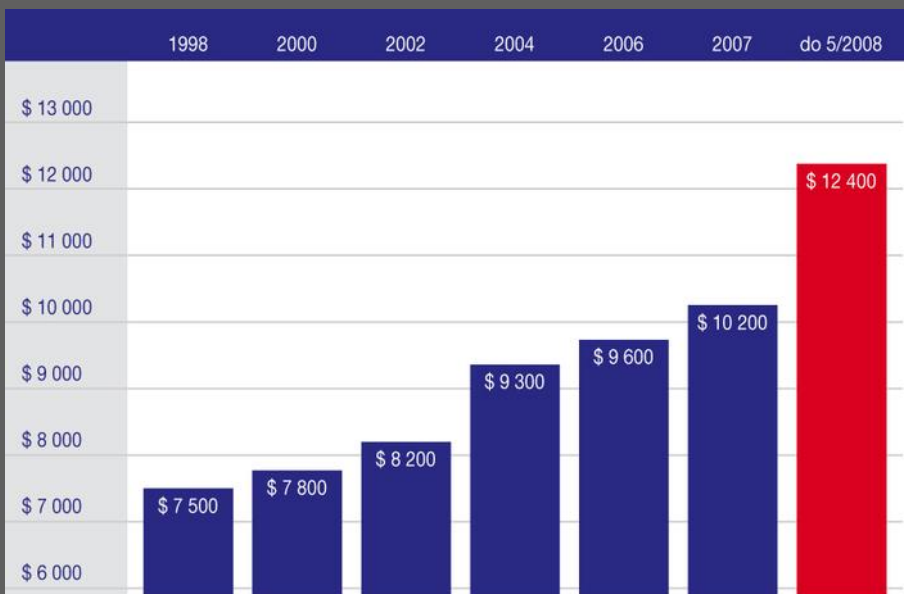
použití: katalytické konvertory (katalyzátory, hl. Pt, Pd a Rh) v autech převádí uhlovodíky, NO_x, CO na méně škodlivý CO₂, N a H₂O, elektrický a elektronický průmysl, zubní a medicínské aplikace, vzácně šperky (Pt)

- 1) magmatická ložiska, likvační typ: Bushveldský komplex (Merensky Reef, 3-20g/t PGE), Sudbury (nižší koncentrace), Norilsk
- 2) černé břidlice (Cu-nosné břidlice)

Pt + diamanty



Diamanty

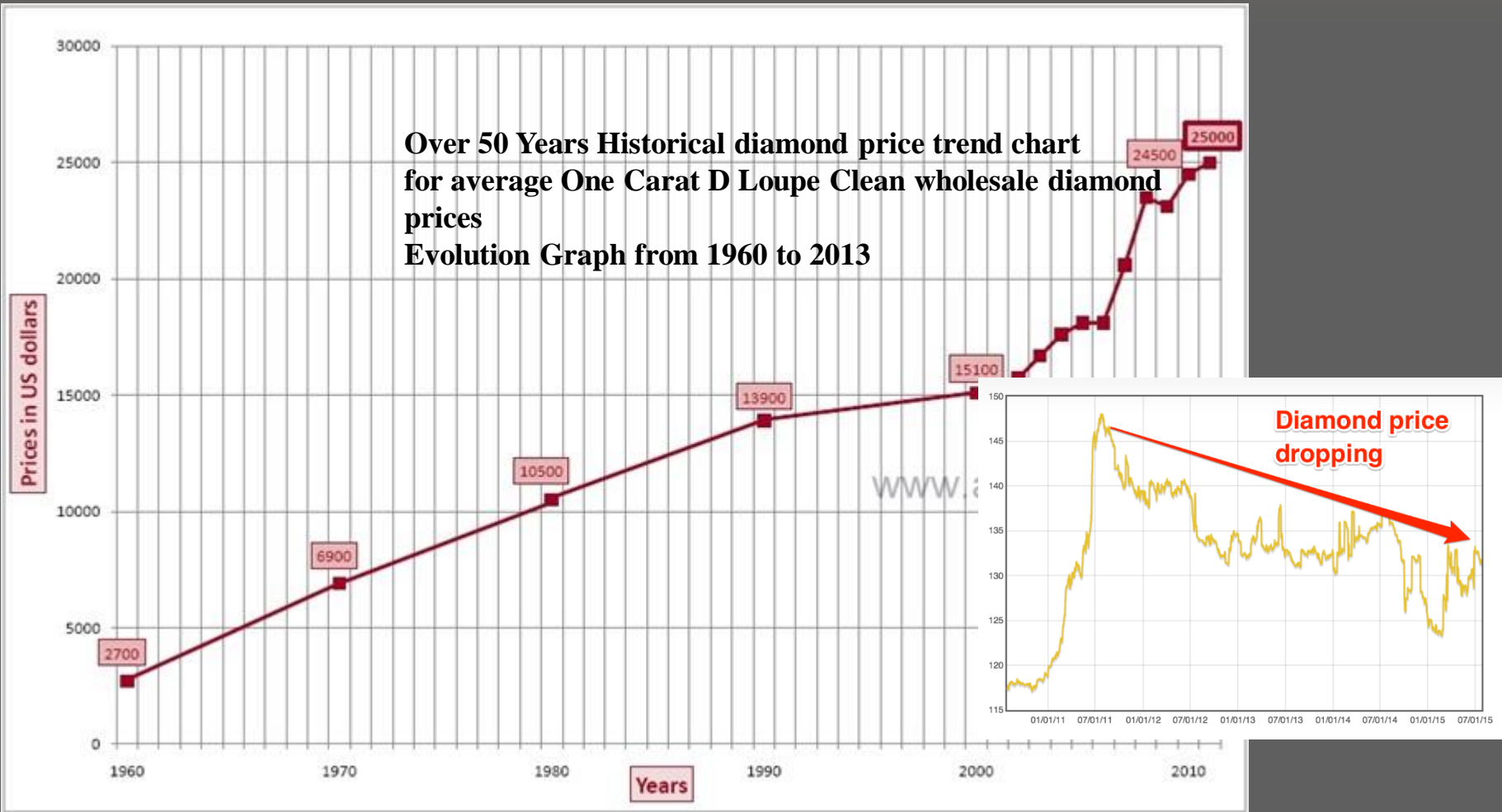


Vývoj ceny broušených
briliantů - kulatý briliant
1.00ct VVS₂-F



Unikátní 603 karátový bílý diamant "Lesotho Promise" byl prodán za 12,36 milionu dolarů. Po plánovaném vylepšení by se jeho cena měla vyhoupnout k 20 milionům dolarů. Nález 2006.
Zdroj: Reuters

Ceny dianantu



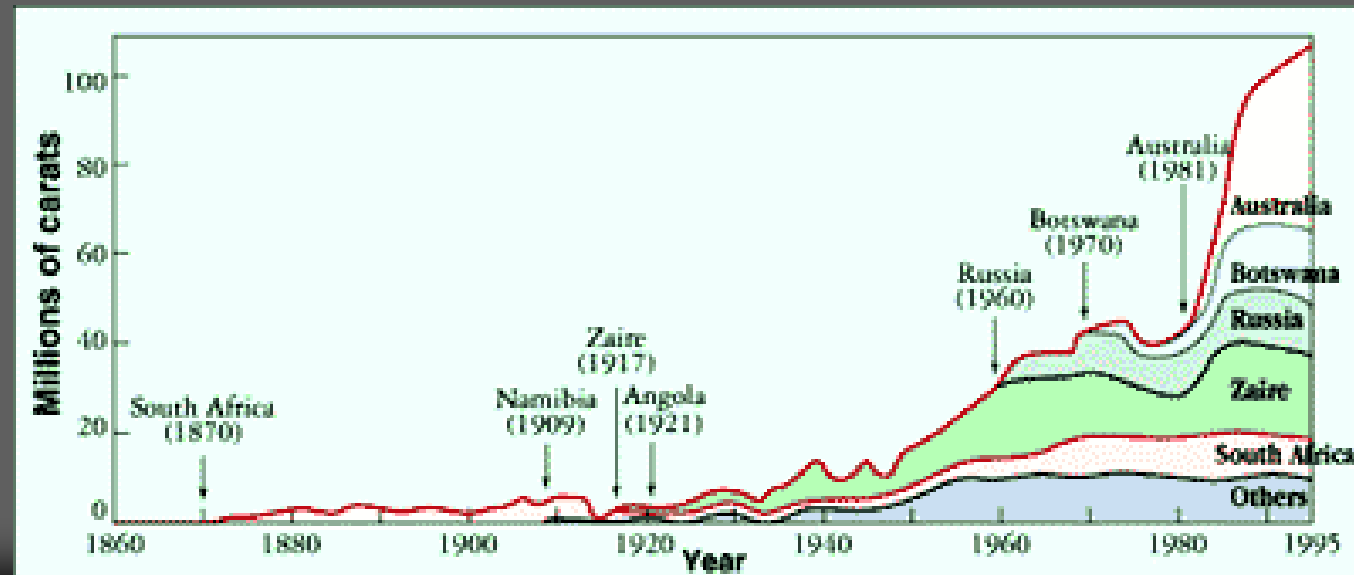
Obchod se šperkovými diamanty

Zpravidla se 10 x ročně draží v Londýně – prodej na broušení, permanentní přístup má pouze 150 lidí – nejvýznamější brusiči a obchodníci.

New York - největší a nejkvalitnější kameny (surovina).

Tel Aviv - převážně středně velké, nejkvalitnější kameny, nejmodernější zpracovatelské technologie

Rapaport Diamond Report



Diamantonosné terény 1

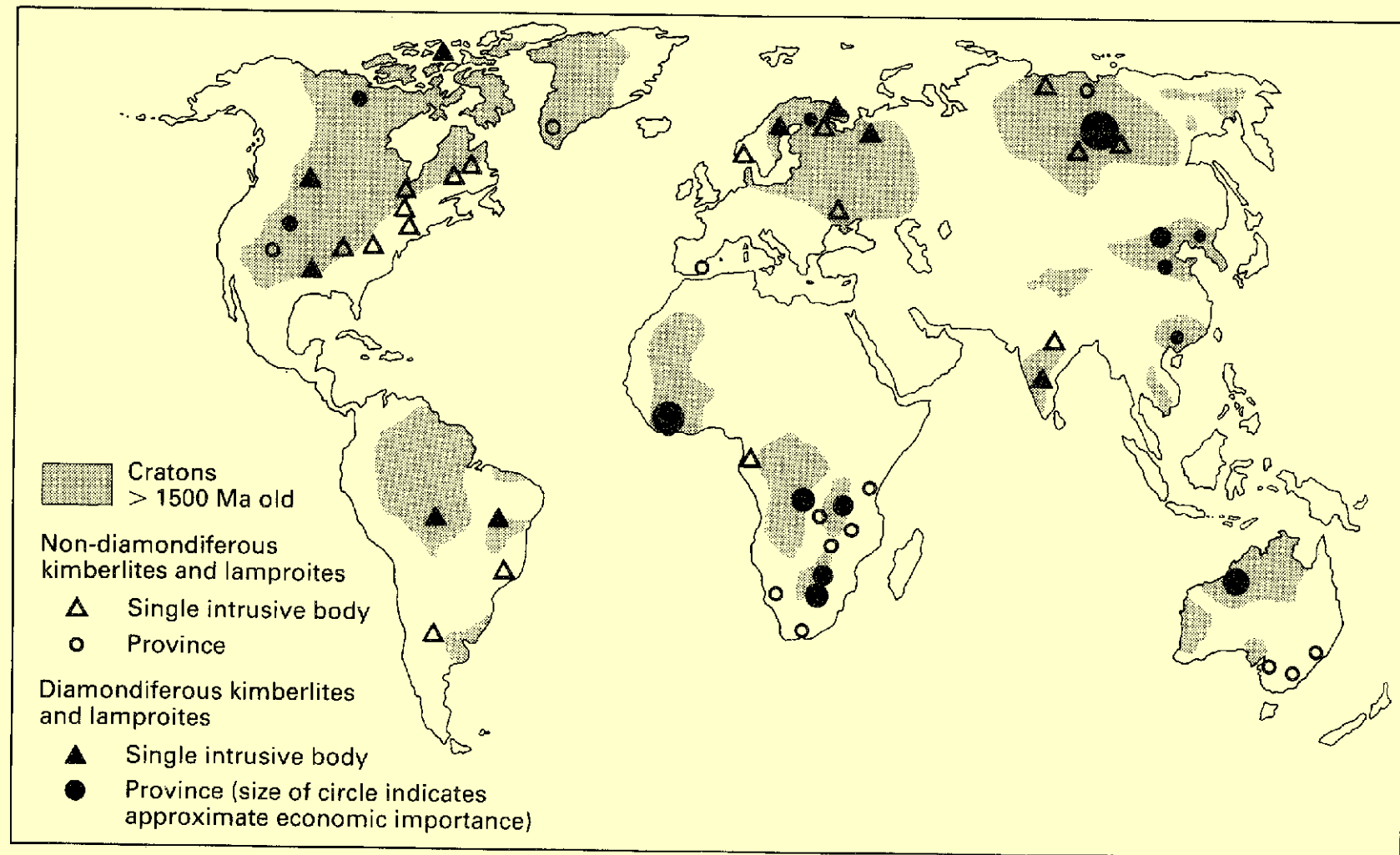
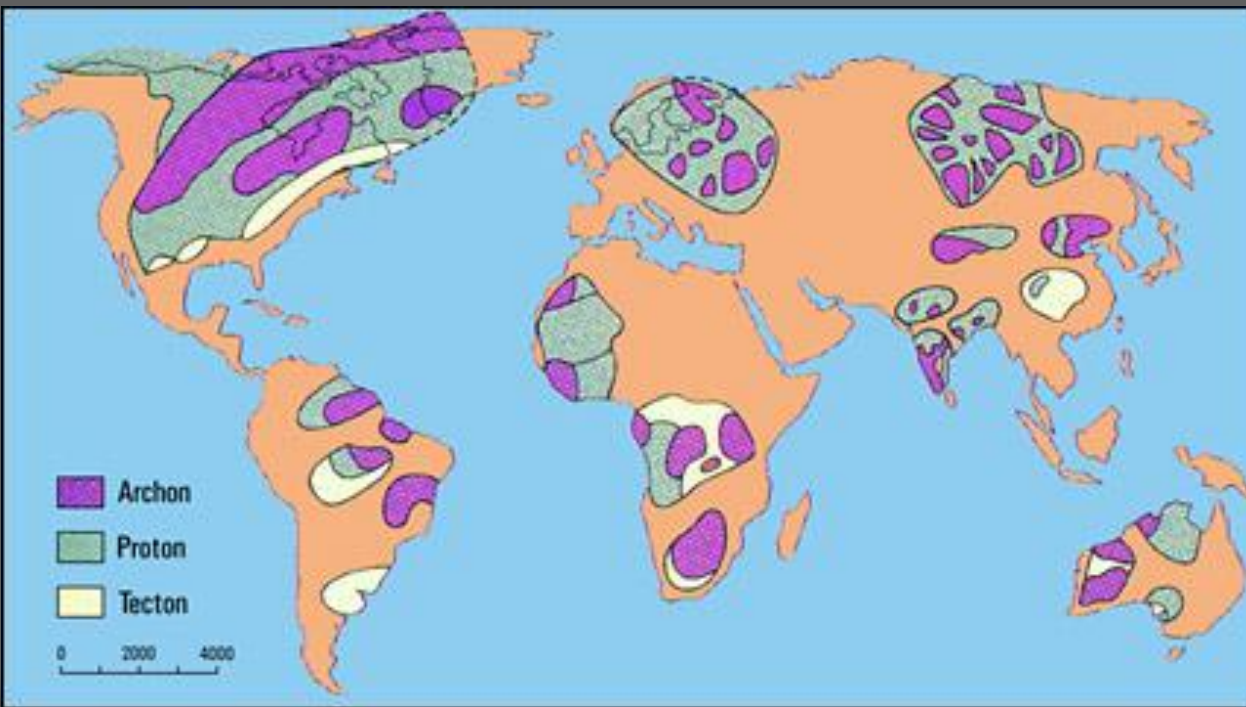


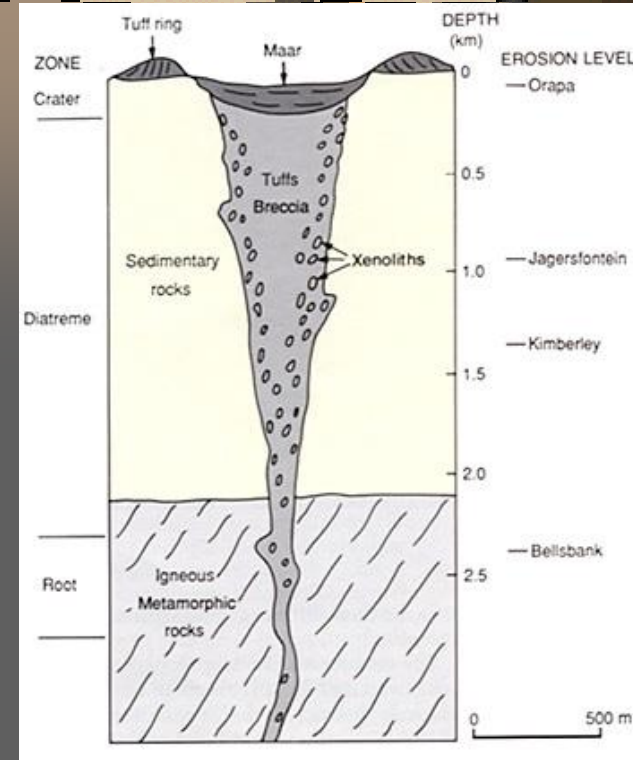
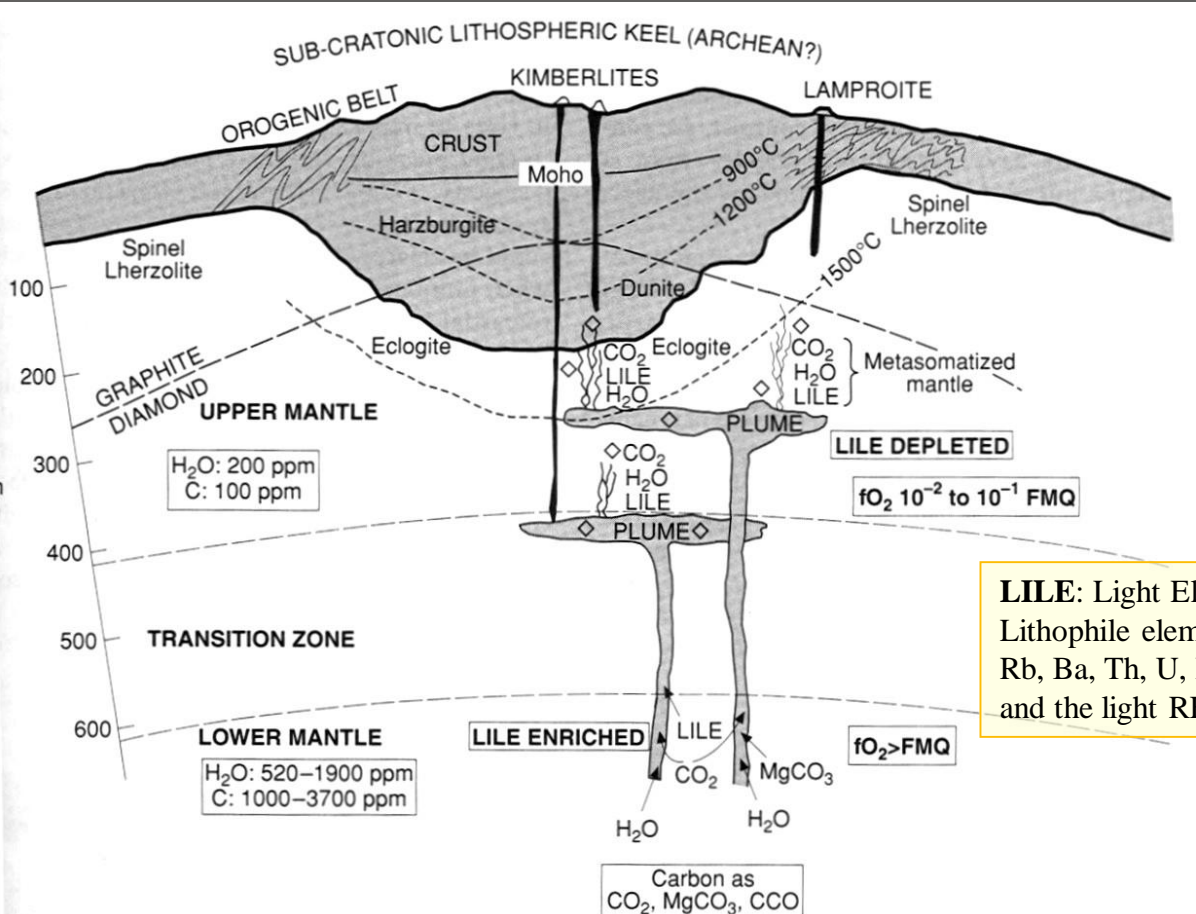
Fig. 9.1 Distribution of diamondiferous and non-diamondiferous kimberlites and lamproites.

Diamantonosné terény 2

tektonicky aktivizované kratony



Geneze diamantů



tvar těles: kimberlitové sopouchy-trubky, diatrémy s brekcií

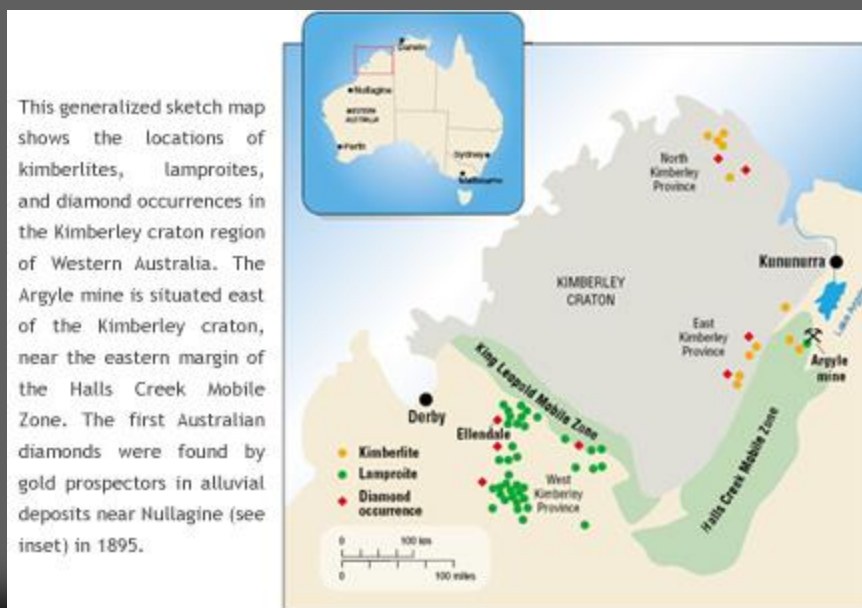
figure 1.8 Schematic diagram illustrating features pertinent to the formation of diamond and the fertilization of the Earth's mantle by plume-related magmas and their associated aqueo-carbonic fluids (after Haggerty, 1999). LILE refers to the large ion lithophile elements; FMQ refers to the fayalite–magnetite–quartz oxygen buffer.

Ložiska diamantů

- ⇒ Mir, Sibiř
- ⇒ Argyle, Austrálie
- ⇒ Namibie, těžba okolo pobřeží



Argyle, Austrálie



The 2014 Argyle Pink Diamonds Tender collection, comprised of around 50 of the rarest and most valuable pink diamonds in the world

Korund – safír, rubín Beryl - akvamarín

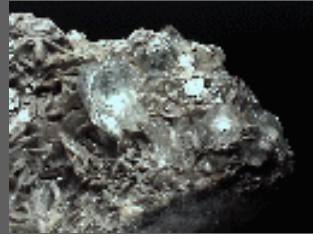
→ Cejlon

IR optické komponenty, krystaly - hodinky, elektronika, vysokotlaké komory pro spektroskopii, elektronika

Cr, Ti – mění barvu na jiné než červené odstíny



1.24 carat Ceylon Blue Sapphire Gem



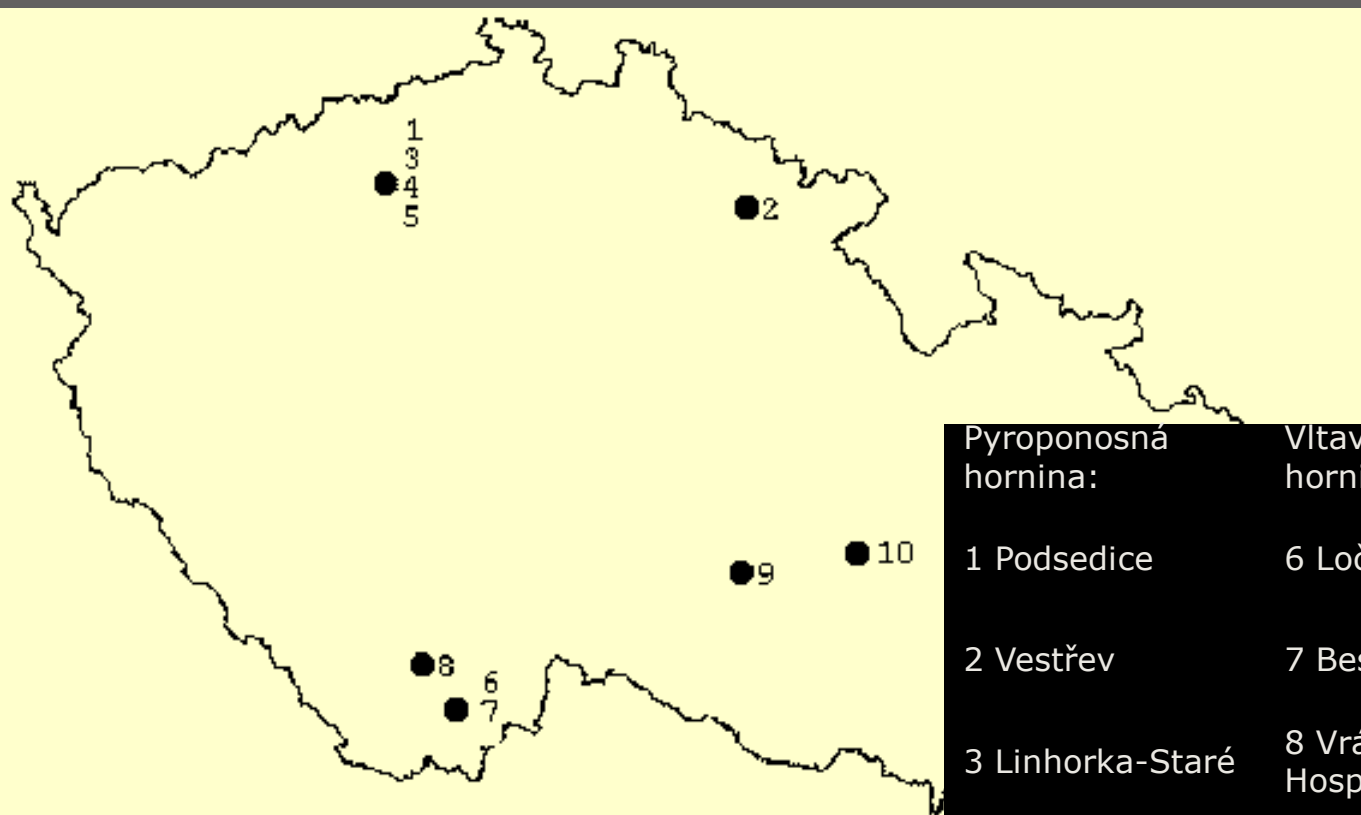
Beryl

beryl na kalcitu

Mina La Pita, Borbur, Boyacá Colombia



Drahé kameny v ČR



Pyroponosná
hornina:

1 Podsedice

2 Vestřev

3 Linhorka-Staré

4 Podsedice-
Dřemčice

5 Třebívlice

Vltavínonosná
hornina:

6 Ločenice

7 Besednice

8 Vrábče-Nová
Hospoda

Ostatní drahé
kameny:

9 Bochovice

10 Rašov